

Математические модели цилиндрической спиральной антенны

В.А. Неганов, Д.П. Табаков

Поволжский государственный университет телекоммуникаций и информатики
443010, Российская Федерация, г. Самара
ул. Л. Толстого, 23

В статье рассмотрена цилиндрическая спиральная антенна с линейным шагом намотки, расположенная над идеально проводящей плоскостью. Построена корректная физическая модель структуры. Показано, что в данной постановке решение задачи о распределении тока в спирали сводится к решению сингулярного интегрального уравнения. Для сравнения приведена математическая модель спиральной антенны в тонкопроволочном приближении, а также алгоритм решения интегральных уравнений. Проведен сравнительный анализ распределений тока в спирали.

Ключевые слова: спиральная антенна, сингулярное интегральное уравнение, тонкопроволочное приближение, корректная физическая модель.

Введение

Интенсивное развитие различных отраслей радиоэлектроники, начавшееся во второй половине XX века, вызвало практическую потребность в антеннах, обеспечивающих излучение и прием эллиптически поляризованного электромагнитного поля (ЭМП) в широком диапазоне частот. Важное место среди различных типов широкополосных антенн занимают спиральные антенны.

Исследование антенн подобного типа велось на протяжении длительного времени как у нас [1; 2], так и за рубежом [3; 4]. В подавляющем большинстве отечественных источников подход к анализу спиральных антенн построен на приближениях [2], суть которых заключается в замене реальной антенны сильно упрощенным физическим эквивалентом – решеткой или анизотропно-проводящей моделью. Данный подход не обладает высокой точностью, но достаточно просто описывает физику происходящих процессов и служит ориентиром при проектировании излучающих структур на основе спиральных излучателей.

Следует отметить, что при рассмотрении вопросов электромагнитной совместимости и безопасности на первый план выходит ближняя зона излучающих структур, распределение электромагнитного поля в которой сильно зависит от распределения поверхностных токов, в то время как приближенные методы ориентированы на анализ дальней зоны излучения.

Сегодня в зарубежной литературе спиральным антеннам уделяется значительное внимание [5], причем их анализ основан на интегральных уравнениях (ИУ), и подобный подход прослеживается с самых ранних этапов внедрения и развития антенн данного типа [6]. Но практически все физические модели антенн строятся в тонкопроволочном приближении [7]. Это упрощает математическую модель, но при этом она становится некорректной [8]. Тем не менее зачастую этого вполне достаточно для практических нужд.

С другой стороны, сейчас для решения задачи анализа и синтеза активно применяются различные системы автоматизированного проектирования (САПР), такие как **Microvawe Studio**, **FEKO** и т. д. Эти САПР универсальны и обладают поистине огромными возможностями, но при анализе используют далеко не все свойства рассматриваемых структур, а результат представляется только в численном виде, поэтому проектирование носит в большей степени опытный характер. При наличии же интегрального уравнения или системы ИУ, описывающих излучающую структуру, появляются возможности для ее дальнейшего аналитического исследования, выявления новых закономерностей и построения оптимизированных алгоритмов ее расчета.

Основой данной статьи служит работа [9], где рассмотрена цилиндрическая винтовая спираль с линейным шагом намотки, а вывод ИУ осуществлен в цилиндрической системе координат. В настоящей статье предложен другой вариант

физической модели антенны, расположенной над бесконечно протяженной идеально проводящей плоскостью. Так же как и в [9], основным ее достоинством является корректность, т. е. ей соответствует математическая модель в виде ИУ Фредгольма второго рода, решение которого является корректной задачей [10]. Также в статье представлена тонкопроволочная модель антенны; приведен алгоритм решения ИУ и численные результаты.

1. Постановка задачи

Построение геометрии проволочной либо полосковой цилиндрической спирали удобнее всего начинать с описания ее образующей. В естественном параметре [11] уравнение радиус-вектора, конец которого проходит по образующей L цилиндрической спирали радиуса a , имеет вид

$$\mathbf{R}_L(l) = a \cos(\xi l) \cdot \mathbf{x}_0 + a \sin(\xi l) \cdot \mathbf{y}_0 + \xi h l \cdot \mathbf{z}_0, \quad (1)$$

$$l \in [0; l_e],$$

Здесь $\mathbf{x}_0, \mathbf{y}_0, \mathbf{z}_0$ – орты декартовой системы координат; h – коэффициент подъема; $\xi = 1 / \sqrt{a^2 + h^2}$; l_e – значение естественного параметра, соответствующее конечной точке образующей. Идеально проводящий экран является плоскостью симметрии, расчет поля в верхнем полупространстве производится с учетом в интегральном уравнении поля, создаваемого зеркальным отражением спирали.

Также запишем параметрические уравнения образующей L :

$$L : \begin{cases} x(l) = a \cos(\xi l); \\ y(l) = a \sin(\xi l); \\ z(l) = \xi h l; \end{cases} \quad (2)$$

$$l \in [0; l_e].$$

Определим единичные векторы касательной \mathbf{l}_0 , первой и второй нормали \mathbf{n}_0 и \mathbf{b}_0 для каждого значения $l \in [0; l_e]$ следующим образом:

$$\begin{aligned} \mathbf{l}_0(l) &= d\mathbf{R}_L(l) / dl = -\xi a \sin(\xi l) \cdot \mathbf{x}_0 + \\ &+ \xi a \cos(\xi l) \cdot \mathbf{y}_0 + \xi h \cdot \mathbf{z}_0, \\ \mathbf{n}_0(l) &= |\mathbf{l}'_0(l)|^{-1} \mathbf{l}_0(l) = -\cos(\xi l) \cdot \mathbf{x}_0 - \\ &-\sin(\xi l) \cdot \mathbf{y}_0 + 0 \cdot \mathbf{z}_0, \\ \mathbf{b}_0(l) &= \mathbf{l}_0(l) \times \mathbf{n}_0(l) = \xi h \sin(\xi l) \cdot \mathbf{x}_0 - \\ &-\xi h \cos(\xi l) \cdot \mathbf{y}_0 + \xi a \cdot \mathbf{z}_0. \end{aligned} \quad (3)$$

Во втором выражении (3) $\mathbf{l}'_0(l) = d\mathbf{l}_0(l) / dl$. Поверхность S полосковой цилиндрической спирали с учетом (3) и (1) будем описывать радиус-вектором:

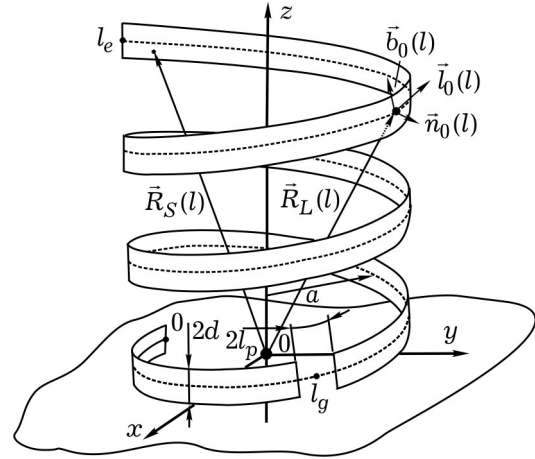


Рис. 1. Геометрия спиральной антенны

$$\mathbf{R}_S(b, l) = \mathbf{R}_L(l) + b \cdot \mathbf{b}_0(l), \quad (4)$$

$$l \in [0; l_e], b \in [-d; d],$$

которому соответствует параметрическое уравнение:

$$S : \begin{cases} x(b, l) = a \cos(\xi l) - \xi h b \sin(\xi l); \\ y(b, l) = a \sin(\xi l) + \xi h b \cos(\xi l); \\ z(b, l) = \xi a b + \xi h l; \end{cases} \quad (5)$$

$$l \in [0; l_e], \quad b \in [-d; d].$$

Переменную l в дальнейшем будем также называть продольной координатой, а b – поперечной. Таким образом, цилиндрическая спиральная антенна представляет собой идеально проводящую бесконечно тонкую металлическую полоску шириной $2d$ и длиной l_e , навитую на воображаемый цилиндр радиуса a , расположенный над бесконечно протяженной идеально проводящей плоскостью $z = 0$ (рис. 1).

Ширина полоски $2d$ много меньше длины волны λ , поэтому поперечными компонентами векторов напряженности электрического поля $\mathbf{E}_b \cdot \mathbf{b}_0$ и поверхностной плотности тока $\eta_b \cdot \mathbf{b}_0$ можно пренебречь.

Так как $2d \ll \lambda$, то распределение поверхностной плотности тока по ширине полоски в первом приближении можно считать квазистатическим:

$$\eta_l(b, l) = \frac{I(l)}{\pi \sqrt{d^2 - b^2}}, \quad (6)$$

здесь

$$I(l) = \int_{-d}^d \eta_l(b, l) db$$

– распределение тока по длине полоски.

Граничное условие для вектора \mathbf{E} на поверхности антенны с учетом бесконечно большой проводимости металла и сделанных ранее допущений приобретает следующий вид:

$$(E_l^{in}(b, l) + E_l(b, l)) \cdot \mathbf{I}_0 = 0, \quad (7)$$

$$l \in [0, l_e], \quad b \in [-d, d],$$

где E_l^{in} – продольная компонента поля, создаваемая внешним источником. При рассмотрении спиральной структуры в качестве антенны область поверхности S , которой соответствуют значения переменных ($l \in [l_g - l_p; l_g + l_p]$, $b \in [-d; d]$), замещается зазором с расположенным в нем источником электродвижущей силы (рис. 1), порождающим продольную составляющую вектора напряженности стороннего электрического поля $\mathbf{E}_l^{in} = E_l^{in} \cdot \mathbf{I}_0$. Аналогичное замещение проводится в области значений переменных ($l \in [l_g - l_p; l_g + l_p]$, $\psi \in [-\pi; \pi]$) на S_ζ для тонкопроволочной модели, речь о которой пойдет далее. Ширина зазора $2l_p$ много меньше длины волны λ , и поверхностная плотность тока η непрерывна в области зазора. Точку на образующей, которой соответствует значение $l = l_g$, будем называть точкой питания.

Функция E_l^{in} равна нулю всюду, за исключением области зазора:

$$E_l^{in}(l) = \frac{1}{2l_p} \begin{cases} U_p, & l \in [l_g - l_p; l_g + l_p]; \\ 0, & l \notin [l_g - l_p; l_g + l_p]; \end{cases}$$

$$l \in [0; l_e].$$

Здесь

$$U_p = \int_0^{l_e} E_l^{in}(l) dl$$

– напряжение в точке питания.

Рассмотрим также тонкопроволочную модель спиральной структуры. Определим цилиндрическую поверхность S_ζ радиуса ζ , окружающую образующую L спирали. Для этого введем локальные цилиндрические координаты $\{\rho, \psi, l\}$ с ортами:

$$\mathbf{r}_0(l, \psi) = \mathbf{n}_0(l) \cos \psi + \mathbf{b}_0(l) \sin \psi,$$

$$\boldsymbol{\psi}_0(l, \psi) = -\mathbf{n}_0(l) \sin \psi + \mathbf{b}_0(l) \cos \psi,$$

$$\mathbf{I}_0(l) = \mathbf{I}_0(l).$$

Тогда радиус-вектор, проходящий по поверхности S_ζ , будет записан в виде

$$\mathbf{R}_\zeta(l, \psi) = \mathbf{R}_L(l) + \zeta \mathbf{r}_0(l, \psi); \quad (8)$$

$$l \in [0, l_e], \quad \psi \in [-\pi, \pi].$$

Параметрические уравнения поверхности S_ζ записываются с учетом (8) через соответствующие проекции \mathbf{R}_ζ :

$$S_\zeta : \begin{cases} x(l, \psi) = (\mathbf{R}_\zeta(l, \psi))_x; \\ y(l, \psi) = (\mathbf{R}_\zeta(l, \psi))_y; \\ z(l, \psi) = (\mathbf{R}_\zeta(l, \psi))_z; \end{cases} \quad (9)$$

$$l \in [0, l_e], \quad \psi \in [-\pi, \pi].$$

Радиус ζ является достаточно малым, поэтому можно считать, что вектор поверхностной плотности тока $\hat{\boldsymbol{\eta}}$ не содержит азимутальной составляющей и при этом его распределение не зависит от азимута:

$$z(l, \psi) = \frac{\hat{I}(l)}{2\pi\zeta} \mathbf{I}_0(l) = \eta_l(l) \mathbf{I}_0(l), \quad (10)$$

здесь

$$\hat{I}(l) = \int_{-\pi}^{\pi} \eta_l(l) \zeta d\psi$$

– распределение тока по длине структуры. В тонкопроволочном приближении считается, что ток $\hat{I}(l)$ протекает по образующей спирали, а граничное условие

$$(E_l^{in}(l) + E_l(l)) \cdot \mathbf{I}_0 = 0, \quad (11)$$

$$l \in [0, l_e]$$

ставится на окружающей ее воображаемой цилиндрической поверхности S_ζ . Тогда, пренебрегая азимутальной зависимостью, расстояние между точкой на образующей и точкой на поверхности S_ζ можно записать в приближенном виде, используя (2):

$$\hat{R}(\tau) = \sqrt{\sum_{u=x,y,z} (u(l) - u(l'))^2 + \zeta^2} =$$

$$= \sqrt{4a^2 \sin^2(\xi\tau/2) + \xi^2 h^2 \tau^2 + \zeta^2}, \quad (12)$$

$$\tau = l - l'.$$

Значение радиуса $\zeta = t/2$ эквивалентно значению ширины полоски $2t$.

2. Интегральное уравнение в тонкопроволочном приближении

Ссылаясь на интегральное уравнение для произвольной проволочной антенны [6] с учетом ГУ (11), запишем:

$$E_l^{in}(l) = -\frac{W_\zeta}{4\pi i k} \int_0^{l_e} \hat{I}(l') \left(k^2 f(l, l') - \frac{\partial^2}{\partial l \partial l'} \right) \times$$

$$\times \hat{G}(l, l') dl' + E_l^{(m)}(l). \quad (13)$$

Здесь:

$$f(l, l') = (\mathbf{I}_0(l) \cdot \mathbf{I}_0(l')) = \xi^2 a^2 \cos(\xi(l - l')) + \xi^2 h^2$$

– скалярное произведение единичных касательных векторов,

$$\hat{G}(l, l') = e^{-ik\hat{R}(l, l')} / \hat{R}(l, l')$$

– функция Грина, связывающая точку излучения на образующей с точкой на воображаемой цилиндрической поверхности S_ζ .

Функция $E_l^{(m)}(l)$ – это поле, наводимое на реальную спираль током $\hat{I}(l')$ ее зеркального отображения, создаваемого идеально проводящей плоскостью:

$$E_l^{(m)}(l) = -\frac{W_c}{4\pi ik} \int_0^{l_e} \hat{I}(l') \left(k^2 f^{(m)}(l, l') - \frac{\partial^2}{\partial l \partial l'} \right) \times \hat{G}^{(m)}(l, l') dl', \quad (14)$$

здесь:

$$\begin{aligned} f^{(m)} &= -\xi^2 a^2 \cos(\xi(l-l')) + \xi^2 h^2, \\ \hat{G}^{(m)}(l, l') &= e^{-ik\hat{R}^{(m)}(l, l')} / \hat{R}^{(m)}(l, l'), \\ \hat{R}^{(m)}(l, l') &= \sqrt{4a^2 \sin(\xi(l-l')/2)^2 + \xi^2 h^2 (l+l')^2 + \zeta^2}. \end{aligned} \quad (15)$$

Теперь определим производные. Для $\hat{G}'(l, l')$ и $\hat{G}^{(m)'}(l, l')$ справедливы формулы:

$$\hat{G}'(l, l') = \frac{\partial \hat{G}(l, l')}{\partial l} = -\frac{Ur(l, l') ik\hat{R} + 1}{2 \hat{R}^2} \hat{G}(l, l'), \quad (16)$$

$$Ur(l, l') = 2(a^2 \xi \sin(\xi\tau) + \xi^2 h^2 \tau),$$

$$\begin{aligned} \hat{G}^{(m)'}(l, l') &= \frac{\partial \hat{G}^{(m)}(l, l')}{\partial l} = \\ &= -\frac{Ur^{(m)}(l, l') ik\hat{R}^{(m)} + 1}{2 (\hat{R}^{(m)})^2} \hat{G}^{(m)}(l, l'), \end{aligned} \quad (17)$$

$$Ur^{(m)}(l, l') = 2(a^2 \xi \sin(\xi(l-l')) + \xi^2 h^2 (l+l')).$$

Перепишем (13) с учетом (16) и (17) в форме интегрального уравнения:

$$\begin{aligned} E_l^{in}(l) &= \int_0^{l_e} \hat{I}(l') \hat{K}^{(1)}(l-l') dl' + \\ &+ \int_0^{l_e} \hat{I}(l') \frac{\partial}{\partial l'} \hat{K}^{(2)}(l-l') dl' + E_l^{(m)}(l), \\ E_l^{(m)}(l) &= \int_0^{l_e} \hat{I}(l') \hat{K}^{(m,1)}(l, l') dl' + \\ &+ \int_0^{l_e} \hat{I}(l') \frac{\partial}{\partial l'} \hat{K}^{(m,2)}(l, l') dl'; \\ l &\in [0, l_e]. \end{aligned} \quad (18)$$

Здесь

$$\hat{K}^{(1)}(\tau) = \frac{ikW_c}{4\pi} f(\tau) \hat{G}(\tau), \quad \hat{K}^{(2)}(\tau) = \frac{W_c}{4\pi ik} \hat{G}'(\tau);$$

$$\hat{K}^{(m,1)}(l, l') = \frac{ikW_c}{4\pi} f^{(m)}(l, l') \hat{G}^{(m)}(l, l'),$$

$$\hat{K}^{(m,2)}(l, l') = \frac{W_c}{4\pi ik} \hat{G}^{(m)'}(l, l')$$

– слагаемые общего ядра интегрального уравнения (18). При всех фиксированных $\zeta > 0$ (18) классифицируется как интегральное уравнение (ИУ) Фредгольма первого рода. Решение подобных уравнений считается математически некорректной задачей. При $\zeta = 0$ функции $\hat{K}^{(1)}$ и $\hat{K}^{(2)}$ имеют неинтегрируемые особенности, поэтому при малых ζ уравнение (18) можно рассматривать как сингулярно возмущенную задачу [7].

3. Интегральное уравнение полосковой модели

Для полосковой модели можно получить интегральное уравнение, записанное относительно продольной компоненты поверхностной плотности тока на полоске η_l шириной $2d$: ($l \in [0, l_e]$, $b \in [-d, d]$):

$$E_l^{in}(b, l) = \frac{iW_c}{4\pi k} \int_0^{l_e} \int_{-d}^d \eta_l(b', l') \left(k^2 f(l-l') - \frac{\partial^2}{\partial l \partial l'} \right) \times G(b, b', l-l') db' dl'. \quad (19)$$

Здесь:

$$G(b, b', l-l') = \frac{e^{-ikR(b, b', l-l')}}{R(b, b', l-l')}$$

– соответствующая функция Грина,

$$R(b, b', l-l') = \sqrt{\sum_{u=x,y,z} (u(b, l) - u(b', l'))^2}$$

– расстояние между точкой источника $q(b', l')$ и точкой наблюдения $p(b, l)$, записываемое на основе (5). Применяя квазистатическое приближение (6) и устанавливая граничное условие (7) только на образующей спирали (т. е. полагая $b = 0$), получаем интегральное уравнение следующего вида:

$$\begin{aligned} E_l^{in}(l) &= \int_0^{l_e} I(l') K^{(1)}(l-l') dl' + \\ &+ \int_0^{l_e} I(l') \frac{\partial}{\partial l'} K^{(2)}(l-l') dl'; \end{aligned} \quad (20)$$

$$K^{(1)}(\tau) = \frac{ikW_c}{4\pi} f(\tau) \int_{-\tau}^{\tau} \frac{G_0(b', \tau)}{\pi \sqrt{\tau^2 - b'^2}} db';$$

$$K^{(2)}(\tau) = \frac{W_c}{4\pi ik} \int_{-\tau}^{\tau} \frac{G'_0(b', \tau)}{\pi \sqrt{\tau^2 - b'^2}} db',$$

$$G_0(b', \tau) = G(0, b', \tau).$$

$G'_0(b', \tau)$ находится по формуле:

$$G'_0(b', l-l') = \frac{\partial G_0(b', l-l')}{\partial l} =$$

$$= -\frac{Ub(b', l-l')}{2} \frac{ikR_0 + 1}{R_0^2} G_0(b', l-l').$$

Здесь

$$\begin{aligned} R_0^2(b', l-l') &= R^2(0, b', l-l') = \\ &= b'^2 + 2ah\xi(\sin(\xi\tau) - \xi\tau)b' + h^2\xi^2\tau^2 + \\ &+ 4a^2 \sin^2(\xi\tau/2), \\ Ub(b', \tau) &= \\ &= 2(h^2\xi^2\tau - 2ah\xi^2 \sin^2(\xi\tau/2))b' + a^2\xi \sin(\xi\tau). \end{aligned}$$

В целях упрощения модели идеально проводящую плоскость учтем в тонкопроволочном приближении и, добавив $E_l^{(m)}(l)$ к правой части (20), получим интегральное уравнение вида

$$\begin{aligned} E_l^{in}(l) &= \int_0^{l_e} I(l')K^{(1)}(l-l')dl' + \\ &+ \int_0^{l_e} I(l')\frac{\partial}{\partial l'}K^{(2)}(l-l')dl' + E_l^{(m)}(l); \quad l \in [0, l_e]. \end{aligned} \quad (21)$$

Интегральное уравнение (21) является сингулярным. Можно показать [9], что при $\tau \rightarrow 0$ в функциях $K^{(i)}(\tau)$ возникают особенности типа $\ln|\tau|$ и $1/\tau$. Решение сингулярных интегральных уравнений (СИУ) считается математически корректной задачей [10].

4. Метод решения интегральных уравнений

Рассмотрим общий подход к решению интегральных уравнений (18) и (21). В рамках метода согласования в точках [12] (в [13] применительно к сингулярным интегральным уравнениям он назван методом дискретных вихрей) отрезок интегрирования разбивается на N равных сегментов длиной $\Delta = l_e / N$, координаты концов которых определяются соседними значениями ряда:

$$l'_n = \Delta(n-1); \quad m = \overline{1, N+1}. \quad (22)$$

Считается, что ток на каждом элементе не зависит от l' : $I(l') = I_n$; ($l' \in [l'_n, l'_{n+1}]$), а граничное условие выполняется в точках:

$$l_m = \Delta(m-1) + \Delta/2; \quad m = \overline{1, N}. \quad (23)$$

Определим разности:

$$\begin{aligned} \tau_{m,n} &= l_m - l'_n = \Delta(m-n); \quad l_m - l'_n = \\ &= \tau_{m,n} + \Delta/2; \quad l_m - l'_{n+1} = \tau_{m,n} - \Delta/2. \end{aligned}$$

Введем операторы:

$$L_m^{(\tau)}(f(\tau)) = \int_{l'_m - l'_n}^{l'_m - l'_{n+1}} f(l-l')dl' = \int_{\Delta m - \Delta/2}^{\Delta m + \Delta/2} f(\tau)d\tau,$$

$$L_{m,n}^{(\tau)}(f(l,l')) = \int_{l'_n}^{l'_{n+1}} f(l_m, l')dl'.$$

Подставляя (22) и (23) в (18) или (21) и умножая обе части выражения на Δ , получаем СЛАУ относительно неизвестных коэффициентов $I_n^{(N)}$:

$$\sum_{n=1}^N Z_{m,n} I_n^{(N)} = V_m; \quad m = \overline{1, N}. \quad (24)$$

Здесь

$$V_m = \Delta E_l^{in}(l_m) \approx \int_{l'_m}^{l'_{m+1}} E_l^{in}(l)dl$$

– падение напряжения на m -м сегменте,

$$\begin{aligned} Z_{m,n} &= \Delta L_{m-n}^{(\tau)}(K^{(1)}(\tau)) - \\ &- \Delta L_{m-n}^{(\tau)}(\partial K^{(2)}(\tau) / \partial \tau) + Z_{m,n}^{(m)}; \end{aligned}$$

$$\begin{aligned} Z_{m,n}^{(m)} &= \Delta L_{m,n}^{(\tau)}(\widehat{K}^{(m,1)}(l,l')) - \\ &- \Delta L_{m,n}^{(\tau)}(\partial \widehat{K}^{(m,2)}(l,l') / \partial l'). \end{aligned}$$

– элементы матрицы импедансов \mathbf{Z} , $I_n^{(N)}$ – приближенное решение интегрального уравнения. Выражения для $L_{m-n}^{(\tau)}(\partial K^{(2)}(\tau) / \partial \tau)$ и $L_{m,n}^{(\tau)}(\partial \widehat{K}^{(m,2)}(l,l') / \partial l')$ определяются аналитически:

$$\begin{aligned} L_{m-n}^{(\tau)}(\partial K^{(1)}(\tau) / \partial \tau) &= K^{(1)}(\Delta(m-n) + \Delta/2) - \\ &- K^{(1)}(\Delta(m-n) - \Delta/2), \end{aligned} \quad (25)$$

$$\begin{aligned} L_{m,n}^{(\tau)}(\partial \widehat{K}^{(m,2)}(l,l') / \partial l') &= \\ &= \widehat{K}^{(m,2)}(l, l'_{n+1}) - \widehat{K}^{(m,2)}(l, l'_n). \end{aligned}$$

Как видно из (25), в случае численного решения ИУ (20) данный метод регуляризует ядра $K^{(i)}(\tau)$ малым параметром $\Delta/2$. Для численного интегрирования в $Z_{m,n}$ можно использовать различные квадратурные формулы.

Обоснование сходимости метода решения для СИУ представлено в [13]. Следует отметить, что при численном решении (18) на минимальную длину сегмента Δ накладывается ограничение $\Delta > 4\zeta$ [7]. В случае его невыполнения матрица импедансов \mathbf{Z} становится плохо обусловленной, а в рассчитанных распределениях тока появляются «нефизические» быстро осциллирующие компоненты. Для СИУ данное ограничение снимается.

Особого внимания заслуживает тот факт, что в ядрах интегральных уравнений спиральной структуры связь между переменными l и l' представлена в явном виде: $l-l'$, поэтому сложность построения матрицы импедансов \mathbf{Z} про-

порциональна числу сегментов N , а не N^2 , как в случае неявной связи между l и l' . Это существенно сокращает затраты машинного времени.

Вместе с тем подобное свойство имеют ядра ИУ вибратора и круговой рамки, которые можно называть ключевыми в антенной технике, а также разомкнутое кольцо – наряду со спиралью, которая образует элемент киральных структур [14], активно исследуемых в последнее время.

Если рассмотреть уравнения (18) и (21), не учитывая бесконечно протяженную идеально проводящую плоскость, то при $a = 0$, $h \rightarrow 0$ либо $h \rightarrow \infty$ (18) переходит соответственно в ИУ Поклингтона, а (20) в ИУ полоскового вибратора. При $h = 0$, $\xi l \in [0; 2\pi]$ уравнения (18) и (21) описывают кольцевые структуры, а при $0 < \xi l < 2\pi$ – разомкнутые кольца.

5. Результаты численного моделирования

В качестве объекта численного моделирования была выбрана спираль, представленная на рис. 2. Антенна разбивалась на 150 сегментов. Точка питания располагалась вблизи экрана.

На рис. 3, а показано распределение тока при $a = 0.1\lambda$, рассчитанное с помощью СИУ (21), на рис. 3, б – сравнение амплитуд $|I(t)|$ и $|\hat{I}(t)|$ при

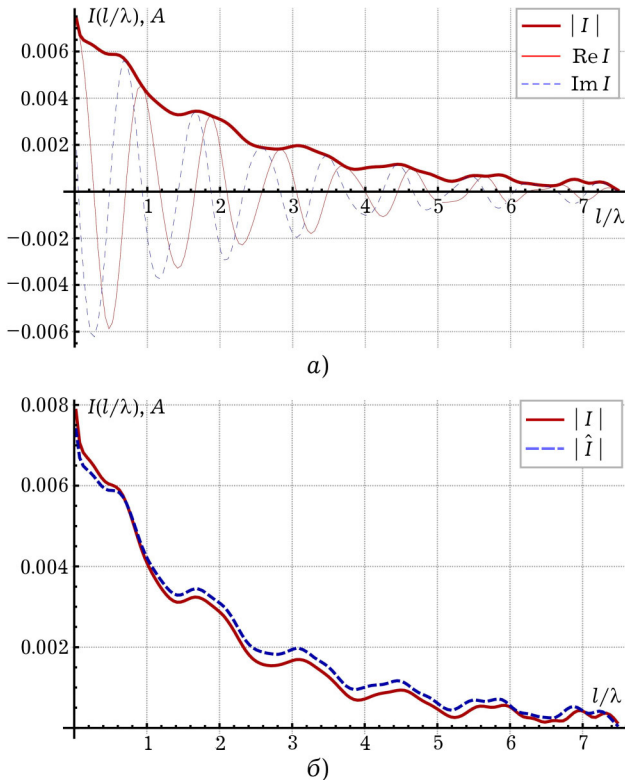


Рис. 3. Распределение тока по спирали при $a = 0.1\lambda$



Рис. 2. Геометрия исследуемой спирали

расчетах с помощью ИУ (18) и СИУ (21) соответственно.

Как видно из рисунков, распределение тока носит характер бегущей волны, которая испытывает ослабление при распространении по спирали. Решения СИУ (18) и ИУ (21) практически не отличаются.

На рис. 4, а показано распределение тока при $a = 0.133\lambda$, рассчитанное с помощью СИУ (21), на рис. 4, б – сравнение амплитуд при расчетах с помощью ИУ (18) и СИУ (21). Бегущая волна тока затухает быстрее, чем в случае $a = 0.1\lambda$, и уже при $l = 4\lambda$ имеет незначительную интенсивность. Решения ИУ (18) и СИУ (21) совпадают еще сильнее. На свободном конце спирали образуется небольшая область с преобладанием стоячей волны.

И наконец, на рис. 5 показаны распределения тока при $a = 0.08\lambda$. Распределение тока имеет характер стоячей волны, причем пучности приобретают приблизительно одинаковую амплитуду. В решениях ИУ (18) и СИУ (21) появляется заметное отличие.

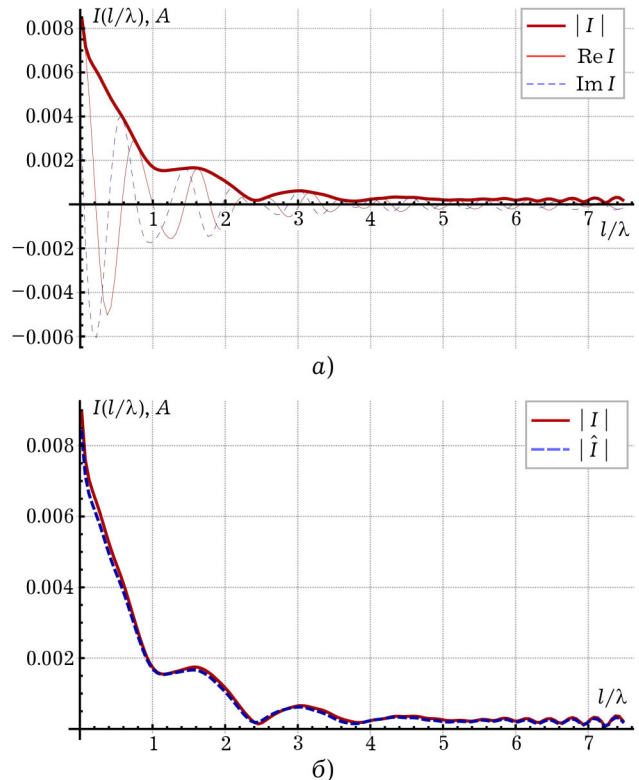


Рис. 4. Распределение тока по спирали при $a = 0.133\lambda$

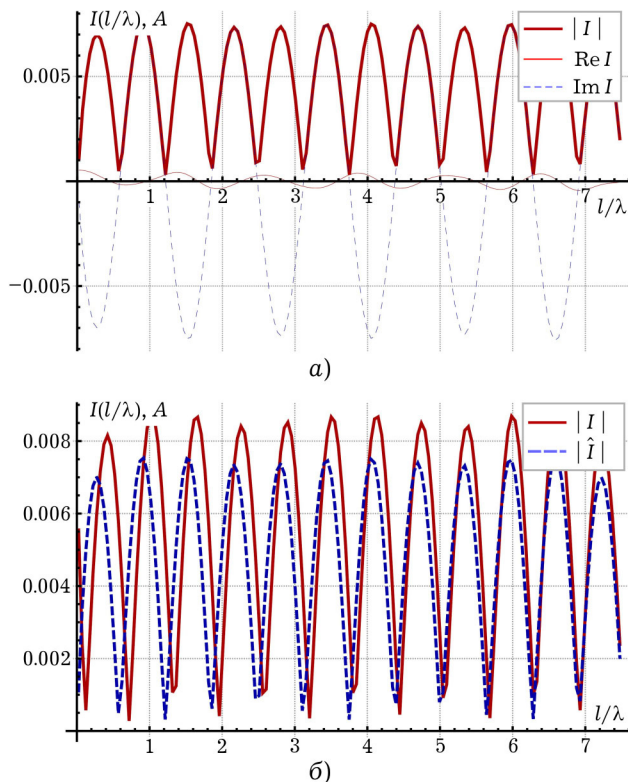


Рис. 5. Распределение тока по спирали при $a = 0.08\lambda$

Заключение

Таким образом, в статье представлены две физические модели спиральной антенны, расположенной над идеально проводящей плоскостью. Построены интегральные уравнения, соответствующие этим моделям. Приведен общий метод численного решения интегральных уравнений, обладающий регуляризующим свойством в случае решения сингулярного интегрального уравнения. Выполнен сравнительный расчет распределений тока. Результаты расчетов совпадают с представлениями, данными в рамках приближенной теории.

Показано, что переменные l и l' в функциях $K^{(1,2)}(l, l')$ и $\hat{K}^{(1,2)}(l, l')$ имеют простую связь, позволяющую использовать эффективные алгоритмы расчета матрицы импедансов, что может быть полезным при электродинамическом анализе более сложных структур, построенных на основе рассмотренных спиралей.

Вместе с тем приведенные интегральные уравнения можно считать своего рода обобщением: они позволяют анализировать не только спирали,

но и другие излучатели – вибраторы, кольцевые рамки, являющиеся классическими объектами исследования теории антенн, а также разомкнутые кольца, рассматриваемые в качестве ключевого элемента некоторых метаструктур с киральными свойствами.

Список литературы

1. Драбкин А.Л., Зузенко В.Л., Кислов А.Г. Антенно-фидерные устройства. Изд. 2-ое, доп. и перераб. М.: Сов. радио, 1974. 536 с.
2. Юрцев О.А., Рунов А.В., Казарин А.Н. Спиральные антенны. М.: Сов. радио, 1974. 223 с.
3. Сверхширокополосные антенны / пер. с англ. под ред. Л.С. Бененсона. М.: Мир, 1968. 416 с.
4. Рамсей В. Частотнонезависимые антенны. М.: Мир, 1968. 176 с.
5. Adekola S., Mowete A., Ayorinde A. Compact theory of the broadband elliptical helical antenna // European Journal of Scientific Research. 2009. Vol. 31. № 3. P. 446–490.
6. Mei K.K. On the integral equations of thin wire antennas // IEEE Trans. on Ant. and Prop. 1965. AP-13. P. 374–378.
7. Стрижков В.А. Математическое моделирование электродинамических процессов в проволочных антенных системах // Математическое моделирование. 1989. Т. 1. № 8. С. 127–138.
8. Тихонов А.Н., Арсенин В.Я. Методы решения некорректных задач. М.: Наука, 1979. 288 с.
9. Неганов В.А., Табаков Д.П. Применение теории сингулярных интегральных уравнений к электродинамическому анализу цилиндрической спиральной антенны // Физика волновых процессов и радиотехнические системы. 2009. Т. 12. № 2. С. 20–29.
10. Неганов В.А. Физическая регуляризация некорректных задач электродинамики. М.: Сайнс-Пресс, 2008. 450 с.
11. Шарипов Р.А. Курс дифференциальной геометрии: учебное пособие для вузов. Уфа: Башкирский университет, 1996. 211 с.
12. Вычислительные методы в электродинамике / под ред. Р. Митры; пер. с англ. под ред. Э.Л. Бурштейна. М.: Мир, 1977. 487 с.
13. Лифанов И.К. Особые интегральные уравнения и методы их численного решения: учебное пособие по курсу лекций. М.: МАКС-Пресс, 2006. 68 с.
14. Неганов В.А., Осипов О.В. Отражающие, волноведущие и излучающие структуры с киральными элементами. М.: Радио и связь, 2006. 280 с.

Mathematical models of cylindrical spiral antenna

V.A. Neganov, D.P. Tabakov

In this article the cylindrical spiral antenna with a linear winding pitch that is placed over the perfectly conductive surface is considered. It was shown that with such statement this problem of current's distribution in a spiral is reduced to a solving of a singular integral equation. To compare a mathematical model of spiral antenna for the thin wire approach was represented. The algorithm of integral equations is considered. The comparative analysis of the current's distribution in a spiral is performed.

Keywords: spiral antenna, singular integral equation, thin wire approach, correct physical model.

Неганов, В.А.

Современная теория и практические применения антенн: монография / В.А. Неганов, Д.П. Табаков, Г.П. Яровой; предисловие академика Ю.В. Гуляева; под ред. В.А. Неганова. – М.: Радиотехника, 2009. – 720 с.

ISBN 978-5-88070-222-0

Неганов В.А., Табаков Д.П., Яровой Г.П.

Современная теория
и практические применения
антенн

Издательство «Радиотехника»
Москва, 2009

УДК 621.396.67

ББК 32.845

Рассмотрены основные разделы теории и техники антенн. Освещены вопросы расчета и построения различных типов антенн (от вибраторных до рупорных и антенных решеток, включая фазированные). Основное внимание уделено антеннам СВЧ и расчетам их электромагнитных полей в ближней зоне, т. е. вопросам электромагнитной совместимости.

Принципиальное отличие книги от известных заключается в последовательном применении метода физической регуляризации (самосогласованного метода) к расчету электромагнитного поля антенн, позволяющего осуществлять непрерывный переход с излучающей поверхности антенны к пространству вне ее. С помощью самосогласованного метода получены новые результаты по теории антенн: установлены связь между поверхностной плотностью тока на вибраторной антенне и напряженностью электромагнитного поля, однонаправленный режим излучения для кольцевой (рамочной антенны), режимы стоячих и бегущих волн в цилиндрической спиральной антенне, входное сопротивление практически для всех типов антенн. Теоретический материал подкреплён примерами применения многолучевых антенн.

Предназначено для разработчиков антенно-фидерных устройств, аспирантов и докторантов, занимающихся вопросами проектирования антенных систем различного назначения, студентов радиотехнических специальностей высших учебных заведений.